

# Poznámky k Elektrodynamice kontinua

PřF MU v Brně, listopad 2008

Michal Lenc

1	Maxwellovy rovnice v materiálovém prostředí .....	2
1.1	Mikroskopické Maxwellovy rovnice .....	2
1.2	Makroskopické Maxwellovy rovnice .....	3
1.3	Maxwellovy rovnice pro prostředí s triviálními materiálovými vztahy .....	3
1.4	Energie a hybnost elektromagnetického pole .....	4
1.5	Prostředí s dispersí .....	5
2	Index lomu .....	7
3	Elektromagnetické pole v dispersním prostředí .....	8
3.1	Maxwellovy rovnice .....	8
3.2	Kramersovy - Kronigovy relace .....	10
4	Chování vlny na rovinném rozhraní .....	11
4.1	Fázová a grupová rychlost .....	11
4.2	Sommerfeldovo – Brilluinovo řešení .....	12
5	Matematické základy .....	14
5.1	Analytické funkce .....	14
5.2	Hlavní hodnota integrálu .....	16

# 1 Maxwellovy rovnice v materiálovém prostředí

## 1.1 Mikroskopické Maxwellovy rovnice

Náboje a proudy rozdělíme na vázané na prostředí a vnější, mikroskopické Maxwellovy rovnice v materiálovém prostředí tedy budou

$$\begin{aligned}\vec{\nabla} \cdot \vec{e} &= \frac{\rho + \rho_{ext}}{\epsilon_0} \quad , \quad \vec{\nabla} \times \vec{e} = -\frac{\partial \vec{h}}{\partial t} \quad , \\ \frac{1}{\mu_0} \vec{\nabla} \times \vec{h} &= \epsilon_0 \frac{\partial \vec{e}}{\partial t} + \rho \vec{v} + \vec{j}_{ext} \quad , \quad \vec{\nabla} \cdot \vec{h} = 0 \quad .\end{aligned}\tag{1.1}$$

Středováním dostaneme

$$\begin{aligned}\vec{\nabla} \cdot \vec{E} &= \frac{\langle \rho \rangle + \rho_{ext}}{\epsilon_0} \quad , \quad \vec{\nabla} \times \vec{E} = -\frac{\partial \vec{B}}{\partial t} \quad , \\ \frac{1}{\mu_0} \vec{\nabla} \times \vec{B} &= \epsilon_0 \frac{\partial \vec{E}}{\partial t} + \langle \rho \vec{v} \rangle + \vec{j}_{ext} \quad , \quad \vec{\nabla} \cdot \vec{B} = 0 \quad ,\end{aligned}\tag{1.2}$$

kde jsme označili

$$\langle \vec{e} \rangle = \vec{E} \quad , \quad \langle \vec{h} \rangle = \vec{B} \quad .\tag{1.3}$$

Celkový náboj vázaný na prostředí, které je plně uzavřeno uvnitř oblasti  $V$  je roven nule

$$\int_V \langle \rho \rangle dV = 0 \quad \Rightarrow \quad \langle \rho \rangle = -\vec{\nabla} \cdot \vec{P} \quad ,\tag{1.4}$$

přičemž  $\vec{P} = 0$  vně materiálu. Potom je totiž

$$\int_V \langle \rho \rangle dV = -\int_V \vec{\nabla} \cdot \vec{P} dV = \int_S \vec{P} \cdot \vec{n} dS = 0 \quad .\tag{1.5}$$

Uvažujme dipólový moment

$$\int_V \vec{r} \langle \rho \rangle dV = -\int_V \vec{r} (\vec{\nabla} \cdot \vec{P}) dV = -\int_S \vec{r} (\vec{n} \cdot \vec{P}) dS + \int_V (\vec{P} \cdot \vec{\nabla}) \vec{r} dV = \int_V \vec{P} dV \quad .\tag{1.6}$$

Proveďme nyní řez materiálem plně uvnitř nějaké plochy  $S$ . Celkový proud touto plochou vázaný na prostředí je dán celkovou hodnotou časové změny průmětu vektoru polarizace

$$\int_S \langle \rho \vec{v} \rangle \cdot \vec{n} dS = \int_S \frac{\partial \vec{P}}{\partial t} \cdot \vec{n} dS \quad \Rightarrow \quad \langle \rho \vec{v} \rangle = \vec{\nabla} \times \vec{M} + \frac{\partial \vec{P}}{\partial t} \quad ,\tag{1.7}$$

přičemž  $\vec{M} = 0$  vně materiálu. Potom je totiž

$$\lim_{T \rightarrow \infty} \frac{1}{T} \int_0^T \int_S \left( \vec{\nabla} \times \vec{M} + \frac{\partial \vec{P}}{\partial t} \right) \cdot \vec{n} dS dt \approx \int_{\ell} \vec{M} \cdot d\vec{\ell} + \lim_{T \rightarrow \infty} \int_S \frac{\vec{P}(T) - \vec{P}(0)}{T} \cdot \vec{n} dS = 0 \quad .\tag{1.8}$$

Uvažujme magnetický moment

$$\frac{1}{2} \int_V \vec{r} \times \langle \rho \vec{v} \rangle dV = \frac{1}{2} \int_V \vec{r} \times (\vec{\nabla} \times \vec{M}) dV = \frac{1}{2} \int_S \vec{r} \times (\vec{n} \times \vec{M}) dS - \frac{1}{2} \int_V (\vec{M} \times \vec{\nabla}) \times \vec{r} dV = \int_V \vec{M} dV \quad . \quad (1.9)$$

Definice vektorů polarizace  $\vec{P}$  a magnetizace  $\vec{M}$  pomocí momentů je důležitá pro jednoznačnost, jinak by vyhovovaly také  $\vec{P} + \vec{\nabla} \times \vec{f}$  a  $\vec{M} + \vec{\nabla} f$ .

Povšimněme si, že spojení rovnic (1.4) a (1.7) dává

$$\frac{\partial \langle \rho \rangle}{\partial t} + \vec{\nabla} \cdot \langle \rho \vec{v} \rangle = 0 \quad . \quad (1.10)$$

## 1.2 Makroskopické Maxwellovy rovnice

Zavedeme vektory indukce elektrického pole a intenzity magnetického pole jako

$$\vec{D} = \epsilon_0 \vec{E} + \vec{P} \quad , \quad \vec{H} = \frac{1}{\mu_0} (\vec{B} - \vec{M}) \quad (1.11)$$

a dostáváme ze (1.2), (1.4) a (1.7) makroskopické Maxwellovy rovnice ve tvaru

$$\begin{aligned} \vec{\nabla} \cdot \vec{D} = \rho \quad , \quad \vec{\nabla} \times \vec{E} = -\frac{\partial \vec{B}}{\partial t} \quad , \\ \vec{\nabla} \times \vec{H} = \frac{\partial \vec{D}}{\partial t} + \vec{j} \quad , \quad \vec{\nabla} \cdot \vec{B} = 0 \quad . \end{aligned} \quad (1.12)$$

Rovnice (1.12) jsou konsistentní s rovnicí kontinuity

$$\frac{\partial \rho}{\partial t} + \vec{\nabla} \cdot \vec{j} = 0 \quad . \quad (1.13)$$

## 1.3 Maxwellovy rovnice pro prostředí s triviálními materiálovými vztahy

V homogenním isotropním lineárním prostředí bez disperse máme jednoduché materiálové vztahy

$$\vec{D} = \epsilon_r \epsilon_0 \vec{E} \quad , \quad \vec{H} = \frac{1}{\mu_r \mu_0} \vec{B} \quad . \quad (1.14)$$

Zavedeme-li pro popis elektromagnetického pole vektorový a skalární potenciál

$$\vec{B} = \vec{\nabla} \times \vec{A} \quad , \quad \vec{E} = -\vec{\nabla} \phi - \frac{\partial \vec{A}}{\partial t} \quad , \quad (1.15)$$

máme po dosazení do Maxwellových rovnic

$$\Delta\phi + \frac{\partial}{\partial t} \vec{\nabla} \cdot \vec{A} = -\frac{\rho}{\varepsilon_r \varepsilon_0} \quad , \quad (1.16)$$

$$\Delta \vec{A} - \varepsilon_r \mu_r \varepsilon_0 \mu_0 \frac{\partial^2 \vec{A}}{\partial t^2} - \vec{\nabla} \left( \vec{\nabla} \cdot \vec{A} + \varepsilon_r \mu_r \varepsilon_0 \mu_0 \frac{\partial \phi}{\partial t} \right) = -\mu_r \mu_0 \vec{j} \quad .$$

S využitím kalibrační transformace

$$\vec{A} \rightarrow \vec{A} + \vec{\nabla} \psi \quad , \quad \phi \rightarrow \phi - \frac{\partial \psi}{\partial t} \quad (1.17)$$

můžeme mít

$$\vec{\nabla} \cdot \vec{A} + \varepsilon_r \mu_r \varepsilon_0 \mu_0 \frac{\partial \phi}{\partial t} = 0 \quad (1.18)$$

a dostáváme tak pro potenciály nehomogenní vlnovou rovnici

$$\Delta\phi - \frac{n^2}{c^2} \frac{\partial^2 \phi}{\partial t^2} = -\frac{\rho}{\varepsilon_r \varepsilon_0} \quad , \quad (1.19)$$

$$\Delta \vec{A} - \frac{n^2}{c^2} \frac{\partial^2 \vec{A}}{\partial t^2} = -\mu_r \mu_0 \vec{j} \quad .$$

Označili jsme rychlost světla ve vakuu  $c$  a index lomu  $n$

$$c = \frac{1}{\sqrt{\varepsilon_0 \mu_0}} \quad , \quad n^2 = \varepsilon_r \mu_r \quad . \quad (1.20)$$

#### 1.4 Energie a hybnost elektromagnetického pole

Mějme testovací částici s energií  $\varepsilon$  a impulsem  $\vec{p}$ . Při přechodu ke spojitému rozložení náboje a proudu je

$$\Delta\varepsilon = \vec{F} \cdot \Delta\vec{r} = \frac{1}{\rho} \vec{F} \cdot \vec{j} \Delta t \quad , \quad \vec{F} = \rho \vec{E} \Delta V + \vec{j} \times \vec{B} \Delta V \quad \Rightarrow \quad \frac{1}{\Delta V} \frac{\Delta\varepsilon}{\Delta t} = \vec{j} \cdot \vec{E} \quad . \quad (1.21)$$

S využitím vztahu

$$\vec{E} \cdot (\vec{\nabla} \times \vec{H}) - \vec{H} \cdot (\vec{\nabla} \times \vec{E}) = \vec{\nabla} \cdot (\vec{H} \times \vec{E}) \quad (1.22)$$

odvodíme z Maxwellových rovnic výraz

$$\vec{H} \cdot \frac{\partial \vec{B}}{\partial t} + \vec{E} \cdot \frac{\partial \vec{D}}{\partial t} = -\vec{j} \cdot \vec{E} - \vec{\nabla} \cdot (\vec{E} \times \vec{H}) \quad . \quad (1.23)$$

Na pravé straně vystupuje vykonaná práce a tok, výraz na levé straně můžeme tedy interpretovat jako časovou změnu hustoty energie. Po zavedení veličin hustoty energie  $W$  a Poyntingova vektoru  $\vec{S}$

$$W = \frac{1}{2} (\vec{E} \cdot \vec{D} + \vec{B} \cdot \vec{H}) \quad , \quad \vec{S} = \vec{E} \times \vec{H} \quad (1.24)$$

můžeme (1.23) psát jako

$$\frac{\partial}{\partial t} \int_V W dV + \int_V \vec{j} \cdot \vec{E} dV + \int_{\Sigma} \vec{S} \cdot \vec{n} d\Sigma = 0 \quad . \quad (1.25)$$

Obdobnou úvahu můžeme provést pro hybnost. Při přechodu ke spojitému rozložení náboje je

$$\Delta \vec{p} = \vec{F} \Delta t \quad , \quad \vec{F} = \rho \vec{E} \Delta V + \vec{j} \times \vec{B} \Delta V \quad \Rightarrow \quad \frac{1}{\Delta V} \frac{\Delta \vec{p}}{\Delta t} = \rho \vec{E} + \vec{j} \times \vec{B} \quad . \quad (1.26)$$

Z Maxwellových rovnic odvodíme výraz

$$\vec{D} \times \frac{\partial \vec{B}}{\partial t} + \frac{\partial \vec{D}}{\partial t} \times \vec{B} = \vec{E} (\vec{\nabla} \cdot \vec{D}) - \vec{B} \times (\vec{\nabla} \times \vec{H}) + \vec{H} (\vec{\nabla} \cdot \vec{B}) - \vec{D} \times (\vec{\nabla} \times \vec{E}) - \vec{j} \times \vec{B} - \rho \vec{E} \quad . \quad (1.27)$$

Poslední dva členy na pravé straně popisují Lorentzovu sílu, můžeme tedy výraz na levé straně interpretovat jako časovou změnu hustoty hybnosti

$$\vec{G} = \vec{D} \times \vec{B} = \epsilon_r \mu_r \epsilon_0 \mu_0 \vec{E} \times \vec{H} = \frac{n^2}{c^2} \vec{S} \quad . \quad (1.28)$$

Po úpravě, kdy předpokládáme, že permitivita ani permeabilita nezávisí na prostorových souřadnicích můžeme psát

$$\begin{aligned} \left[ \vec{E} (\vec{\nabla} \cdot \vec{D}) - \vec{D} \times (\vec{\nabla} \times \vec{E}) \right]_i &= \sum_{j=1}^3 \frac{\partial}{\partial x_j} \left( E_i D_j - \frac{1}{2} \delta_{ij} \vec{E} \cdot \vec{D} \right) \quad , \\ \left[ \vec{H} (\vec{\nabla} \cdot \vec{B}) - \vec{B} \times (\vec{\nabla} \times \vec{H}) \right]_i &= \sum_{j=1}^3 \frac{\partial}{\partial x_j} \left( H_i B_j - \frac{1}{2} \delta_{ij} \vec{H} \cdot \vec{B} \right) \quad . \end{aligned} \quad (1.29)$$

a zákon zachování má tvar

$$\frac{\partial}{\partial t} \int_V G_i dV + \int_V \left[ \rho E_i + (\vec{j} \times \vec{B})_i \right] dV + \int_{\Sigma} \sum_{j=1}^3 T_{ij} n_j d\Sigma = 0 \quad . \quad (1.30)$$

Definovali jsme Maxwellův tensor napětí  $T_{ij}$  jako

$$T_{ij} = - (E_i D_j + H_i B_j) + \frac{1}{2} \delta_{ij} (\vec{E} \cdot \vec{D} + \vec{H} \cdot \vec{B}) \quad . \quad (1.31)$$

Takto definovaný Maxwellův tensor určuje tok hybnosti z uvažovaného objemu. Jeho stopa je rovna hustotě energie

$$W - \sum_{i=1}^3 T_{ii} = 0 \quad . \quad (1.32)$$

## 1.5 Prostředí s disperzí

V prostředí s disperzí musíme psát

$$\begin{aligned}\bar{E}(t) &= \frac{1}{2}[\bar{e}(t) + \bar{e}^*(t)] \quad , \quad \bar{D}(t) = \frac{1}{2}[\bar{d}(t) + \bar{d}^*(t)] \quad , \\ \bar{B}(t) &= \frac{1}{2}[\bar{b}(t) + \bar{b}^*(t)] \quad , \quad \bar{H}(t) = \frac{1}{2}[\bar{h}(t) + \bar{h}^*(t)] \quad ,\end{aligned}\tag{1.33}$$

kde

$$\begin{aligned}\bar{e}(t) &= \bar{e}_0(t) \exp\{-i\omega t\} = \int \bar{e}_0(\alpha) \exp\{-i(\alpha + \omega)t\} \frac{d\alpha}{2\pi} \quad , \\ \bar{d}(t) &= \bar{d}_0(t) \exp\{-i\omega t\} = \varepsilon_0 \int \varepsilon(\alpha + \omega) \bar{e}_0(\alpha) \exp\{-i(\alpha + \omega)t\} \frac{d\alpha}{2\pi} \quad , \\ \bar{h}(t) &= \bar{h}_0(t) \exp\{-i\omega t\} = \int \bar{h}_0(\alpha) \exp\{-i(\alpha + \omega)t\} \frac{d\alpha}{2\pi} \quad , \\ \bar{b}(t) &= \bar{b}_0(t) \exp\{-i\omega t\} = \mu_0 \int \mu(\alpha + \omega) \bar{h}_0(\alpha) \exp\{-i(\alpha + \omega)t\} \frac{d\alpha}{2\pi} \quad .\end{aligned}\tag{1.34}$$

Předpokládáme, že  $\bar{e}_0(t)$  a  $\bar{h}_0(t)$  jsou pomalu se měnící funkce a že pro hodnoty integrálů jsou tedy podstatné pouze příspěvky z okolí  $\alpha=0$ . Pro výpočet zobecněného vztahu (1.23) nebo (1.27) potřebujeme znát přibližné vyjádření pro  $\partial \bar{d}/\partial t$  a  $\partial \bar{b}/\partial t$ . Rozvoj příslušných integrandů kolem  $\alpha=0$  napíšeme jako

$$\begin{aligned}(\alpha + \omega)\varepsilon(\alpha + \omega) &= \omega\varepsilon(\omega) + \frac{d\omega\varepsilon(\omega)}{d\omega}\alpha + \frac{1}{2!}\frac{d^2\omega\varepsilon(\omega)}{d\omega^2}\alpha^2 + \dots \approx \\ &= -\omega^2\frac{d\varepsilon(\omega)}{d\omega} + \frac{d\omega\varepsilon(\omega)}{d\omega}(\omega + \alpha)\end{aligned}\tag{1.35}$$

nebo

$$\begin{aligned}(\alpha + \omega)\mu(\alpha + \omega) &= \omega\mu(\omega) + \frac{d\omega\mu(\omega)}{d\omega}\alpha + \frac{1}{2!}\frac{d^2\omega\mu(\omega)}{d\omega^2}\alpha^2 + \dots \approx \\ &= -\omega^2\frac{d\mu(\omega)}{d\omega} + \frac{d\omega\mu(\omega)}{d\omega}(\omega + \alpha) \quad .\end{aligned}\tag{1.36}$$

To nám umožní získat hledané vyjádření

$$\begin{aligned}\frac{\partial \bar{d}(t)}{\partial t} &\approx i\varepsilon_0\omega^2\frac{d\varepsilon(\omega)}{d\omega}\bar{e}(t) + \varepsilon_0\frac{d\omega\varepsilon(\omega)}{d\omega}\frac{\partial \bar{e}(t)}{\partial t} \quad , \\ \frac{\partial \bar{b}(t)}{\partial t} &\approx i\mu_0\omega^2\frac{d\mu(\omega)}{d\omega}\bar{h}(t) + \mu_0\frac{d\omega\mu(\omega)}{d\omega}\frac{\partial \bar{h}(t)}{\partial t} \quad .\end{aligned}\tag{1.37}$$

Pro hustotu energie pak máme konečný výraz

$$W = \frac{1}{2}\left(\varepsilon_0\frac{d\omega\varepsilon(\omega)}{d\omega}E^2 + \frac{1}{\mu_0\mu^2(\omega)}\frac{d\omega\mu(\omega)}{d\omega}B^2\right) \quad .\tag{1.38}$$

Řešení vlnové rovnice pro vektorový potenciál ve tvaru rovinné vlny dává

$$\begin{aligned}\phi &= 0 \quad , \quad \vec{A} = 2N\vec{a}\cos(\omega t - \vec{k}\vec{r}) \quad , \\ \vec{E} &= 2N\omega\vec{a}\sin(\omega t - \vec{k}\vec{r}) \quad , \quad \vec{B} = 2N(\vec{k}\times\vec{a})\sin(\omega t - \vec{k}\vec{r}) \quad , \\ \vec{a}\cdot\vec{k} &= 0 \quad , \quad |\vec{k}| = \frac{n\omega}{c} \quad .\end{aligned}\tag{1.39}$$

Normovací podmínku pro vektorový potenciál odpovídající jednomu fotonu napíšeme jako

$$\lim_{T\rightarrow\infty} \frac{1}{T} \int_0^T \int_V W dV dt = \hbar\omega \quad .\tag{1.40}$$

Po dosazení dostaneme pro normovací konstantu  $N$

$$N = \left[ \frac{\hbar}{2\varepsilon_0\omega V(\varepsilon(\omega)/n(\omega))(\partial(\omega n(\omega))/\partial\omega)} \right]^{1/2} .\tag{1.41}$$

S uvedenou hodnotou normovací konstanty  $N$  je hybnost fotonu střední hodnotou veličiny úměrné Poyntingovu vektoru

$$\lim_{T\rightarrow\infty} \frac{1}{T} \int_0^T \int_V \frac{1}{c^2} \frac{\partial(\omega n(\omega))}{\partial\omega} \vec{E}\times\vec{H} dV dt = \frac{\hbar\omega}{c} \frac{\vec{k}}{k} .\tag{1.42}$$

## 2 Index lomu

Definujeme polarizovatelnost  $\alpha(\omega)$  jako konstantu úměrnosti ve vztahu mezi (lokálním) elektrickým polem  $\vec{E}_{loc}$  a dipólovým momentem  $\vec{p}$ . Vyjdeme z komplexního zápisu intenzity

$$\frac{d^2\vec{r}}{dt^2} + \gamma\frac{d\vec{r}}{dt} + \omega_0^2\vec{r} = \frac{e}{m}\vec{E}_{loc}\exp(-i\omega t) \quad .\tag{2.1}$$

Potom

$$\vec{p} = \varepsilon_0\alpha(\omega)\vec{E}_{loc} \quad , \quad \alpha(\omega) = \frac{e^2}{\varepsilon_0 m \omega_0^2 - i\gamma\omega - \omega^2} \quad .\tag{2.2}$$

Polarizace je pak  $\vec{P} = N\vec{p}$ . Musíme ovšem uvážit, jaké pole působí na náboj. Připomeňme z elektrostatiky, že je-li v dielektriku s homogenním polem dutina, je lokální pole rovno

$$\vec{E}_{loc} = \vec{E} \quad , \quad \vec{E}_{loc} = \vec{E} + \frac{1}{\varepsilon_0}\vec{P} \quad , \quad \vec{E}_{loc} = \vec{E} + \frac{1}{3\varepsilon_0}\vec{P} \quad ,\tag{2.3}$$

podle toho, jde-li o štěrbinu podél nebo napříč pole nebo o kulovou dutinu. Pro úplnost poznamenejme, že pro magnetické pole máme v podobné situaci

$$\vec{B}_{loc} = \vec{B} - \vec{M} \quad , \quad \vec{B}_{loc} = \vec{B} \quad , \quad \vec{B}_{loc} = \vec{B} - \frac{2}{3}\vec{M} \quad . \quad (2.4)$$

Pro dielektrika uvažujeme o vázaných nábojích uvnitř kulové dutiny, můžeme tedy psát

$$\vec{P} = \frac{N\alpha}{1 - \frac{1}{3}N\alpha} \epsilon_0 \vec{E} \quad (2.5)$$

a pro index lomu (za velmi častého předpokladu  $\mu(\omega) = \mu_0$ )

$$n^2 = 1 + \frac{N\alpha}{1 - \frac{1}{3}N\alpha} \quad . \quad (2.6)$$

Obvyklá forma tohoto vztahu je (Clausius - Mossotti)

$$3 \frac{n^2 - 1}{n^2 + 2} = N\alpha \quad . \quad (2.7)$$

Ve vodiči uvažujeme o téměř volných elektronech (nevázaných k atomu, tedy  $\omega_0 = 0$ ) a dále máme pro konstantu  $\gamma$  (ze dvou různých vyjádření proudu a zápisu změny impulsu za dobu mezi srážkami)

$$j = \sigma E \quad , \quad j = N e v_d \quad , \quad m v_d \gamma = e E \quad \Rightarrow \quad \gamma = \frac{N e^2}{m \sigma} \quad . \quad (2.8)$$

Také lokální pole je rovno vnějšímu, opět díky neustálému pohybu téměř volných elektronů. Odtud máme pro index lomu

$$n^2 = 1 - \frac{\omega_p^2}{\omega^2 + i \omega \omega_p^2 \frac{\epsilon_0}{\sigma}} \quad , \quad \omega_p^2 = \frac{N e^2}{m \epsilon_0} \quad . \quad (2.9)$$

### 3 Elektromagnetické pole v dispersním prostředí

#### 3.1 Maxwellovy rovnice

Maxwellovy rovnice pro Fourierovy složky (píšeme obecně bez vyznačení prostorové proměnné)

$$f(t) = \frac{1}{2\pi} \int_{-\infty}^{\infty} f(\omega) \exp(-i\omega t) d\omega \quad (3.1)$$

jsou

$$\begin{aligned} \vec{\nabla} \cdot \vec{B}(\omega) &= 0 \quad , \quad \vec{\nabla} \times \vec{H}(\omega) = -i\omega \vec{D}(\omega) \quad , \\ \vec{\nabla} \cdot \vec{D}(\omega) &= 0 \quad , \quad \vec{\nabla} \times \vec{E}(\omega) = i\omega \vec{B}(\omega) \quad . \end{aligned} \quad (3.2)$$

Předpoklad lineárního a příčinného vztahu mezi intenzitou a indukcí



$$\vec{D}(t) = \varepsilon_0 \left( \vec{E}(t) + \int_0^{\infty} \chi_e(\tau) \vec{E}(t-\tau) d\tau \right) , \quad \vec{B}(t) = \mu_0 \left( \vec{H}(t) + \int_0^{\infty} \chi_m(\tau) \vec{H}(t-\tau) d\tau \right) \quad (3.3)$$

vede k vyjádření

$$\vec{D}(\omega) = \varepsilon_0 \varepsilon(\omega) \vec{E}(\omega) , \quad \vec{B}(\omega) = \mu_0 \mu(\omega) \vec{H}(\omega) , \quad (3.4)$$

kde

$$\varepsilon(\omega) = 1 + \int_0^{\infty} \chi_e(\tau) \exp(i\omega\tau) d\tau , \quad \mu(\omega) = 1 + \int_0^{\infty} \chi_m(\tau) \exp(i\omega\tau) d\tau . \quad (3.5)$$

Z tohoto vyjádření máme hned

$$\varepsilon(-\omega) = \varepsilon^*(\omega) , \quad \mu(-\omega) = \mu^*(\omega) \quad (3.6)$$

a

$$\lim_{\omega \rightarrow \infty} \varepsilon(\omega) = 1 , \quad \lim_{\omega \rightarrow \infty} \mu(\omega) = 1 . \quad (3.7)$$

Pro dielektrika nabývá  $\varepsilon(\omega)$  při  $\omega \rightarrow 0$  konečnou hodnotu statické relativní permitivity. Pro kovy je chování zajímavější. Z porovnání dvou tvarů  $(\vec{\nabla} \times \vec{H})(\omega \rightarrow 0)$  dostáváme

$$-i\omega\varepsilon(\omega \rightarrow 0)\vec{E}(\omega \rightarrow 0) \rightarrow \sigma\vec{E}(\omega \rightarrow 0) \Rightarrow \varepsilon(\omega \rightarrow 0) \rightarrow \frac{i\sigma}{\omega} . \quad (3.8)$$

S využitím vztahů (3.4) můžeme Maxwellovy rovnice (3.2) přepsat na

$$\begin{aligned} \vec{\nabla} \cdot \vec{B}(\omega) &= 0 , \quad \vec{\nabla} \times \vec{B}(\omega) = -i\omega \frac{n^2(\omega)}{c^2} \vec{E}(\omega) , \\ \vec{\nabla} \cdot \vec{E}(\omega) &= 0 , \quad \vec{\nabla} \times \vec{E}(\omega) = i\omega \vec{B}(\omega) , \end{aligned} \quad (3.9)$$

kde

$$\varepsilon_0 \mu_0 = \frac{1}{c^2} , \quad \varepsilon(\omega) \mu(\omega) = n^2(\omega) . \quad (3.10)$$

Vhodnou volbou kalibrace potenciálů je  $\phi(\omega) = 0$ ,  $\vec{\nabla} \cdot \vec{A}(\omega) = 0$ , takže

$$\vec{E}(\omega) = i\omega \vec{A}(\omega) , \quad \vec{B}(\omega) = \vec{\nabla} \times \vec{A}(\omega) \quad (3.11)$$

a pro vektorový potenciál máme Helmholtzovu rovnici

$$\Delta \vec{A}(\omega) + \frac{\omega^2 n^2(\omega)}{c^2} \vec{A}(\omega) = 0 . \quad (3.12)$$

Vezměme nyní výraz (1.23)

$$-\vec{\nabla} \cdot \vec{S} = \vec{H} \cdot \frac{\partial \vec{B}}{\partial t} + \vec{E} \cdot \frac{\partial \vec{D}}{\partial t} . \quad (3.13)$$

Uvažujme monochromatickou elektromagnetickou vlnu. Poněvadž pravá strana (3.13) obsahuje kvadratické výrazy, musíme brát reálné hodnoty pole, tj. dosazovat

$$\begin{aligned}\vec{E} &= \frac{1}{2} \left[ \vec{E}(\omega) \exp(-i\omega t) + \vec{E}^*(\omega) \exp(i\omega t) \right] , \\ \frac{\partial \vec{D}}{\partial t} &= \frac{i\omega\epsilon_0}{2} \left[ -\epsilon(\omega) \vec{E}(\omega) \exp(-i\omega t) + \epsilon^*(\omega) \vec{E}^*(\omega) \exp(i\omega t) \right]\end{aligned}\quad (3.14)$$

a

$$\begin{aligned}\vec{H} &= \frac{1}{2} \left[ \vec{H}(\omega) \exp(-i\omega t) + \vec{H}^*(\omega) \exp(i\omega t) \right] , \\ \frac{\partial \vec{B}}{\partial t} &= \frac{i\omega\mu_0}{2} \left[ -\mu(\omega) \vec{H}(\omega) \exp(-i\omega t) + \mu^*(\omega) \vec{H}^*(\omega) \exp(i\omega t) \right] .\end{aligned}\quad (3.15)$$

Pro časovou střední hodnotu Poyntingova vektoru

$$\overline{\vec{S}(\omega)} = \lim_{T \rightarrow \infty} \frac{1}{T} \int_0^T \vec{S}(\omega, t) dt \quad (3.16)$$

dostáváme ze vztahu (3.13) dosazením z (3.14) a (3.15)

$$-\vec{\nabla} \cdot \overline{\vec{S}(\omega)} = \frac{\omega}{2} \left[ \epsilon_0 \epsilon''(\omega) |\vec{E}(\omega)|^2 + \mu_0 \mu''(\omega) |\vec{H}(\omega)|^2 \right] . \quad (3.17)$$

Energie přidávaná do jednotky objemu je proměňována na teplo. Podle druhé věty termodynamické musí být toto teplo při disipaci energie vytvářeno, musí tedy být

$$\omega \epsilon''(\omega) > 0 \quad , \quad \omega \mu''(\omega) > 0 \quad . \quad (3.18)$$

### 3.2 Kramersovy - Kronigovy relace

Studium vlastností permitivity a permeability jako komplexních funkcí komplexní proměnné vede k tomu, že můžeme tvrdit, že jsou to funkce analytické v horní polorovině, na reálné ose má funkce  $\epsilon(\omega)$  nejvýše jeden pól v bodě  $\omega=0$ . Zobecnění na komplexní rovinu má často bezprostřední interpretaci.

Tak vztah

$$\epsilon(-\omega^*) = \epsilon^*(\omega) \quad , \quad \mu(-\omega^*) = \mu^*(\omega) \quad (3.19)$$

plyne z požadavku, aby reálné veličině

$$\vec{E} = \vec{E}_0 \exp(-i\omega t) + \vec{E}_0^* \exp(i\omega^* t) \quad (3.20)$$

odpovídala reálná veličina

$$\vec{D} = \epsilon(\omega) \vec{E}_0 \exp(-i\omega t) + \epsilon(-\omega^*) \vec{E}_0^* \exp(i\omega^* t) \quad . \quad (3.21)$$

Užitím Cauchyho věty pro vhodnou oblast dostáváme Kramersovy - Kronigovy vztahy pro reálnou a imaginární část funkcí  $\varepsilon(\omega)$  a  $\mu(\omega)$ , píšeme dále jen pro permitivitu (proměnnou na reálné ose značíme  $x$ )

$$\varepsilon'(\omega) - \varepsilon'(0) = \frac{1}{\pi} P \int_{-\infty}^{\infty} \frac{\varepsilon''(x)}{x - \omega} dx \quad , \quad \varepsilon''(\omega) - \frac{\sigma}{\omega} = -P \int_{-\infty}^{\infty} \frac{\varepsilon'(x)}{x - \omega} dx \quad . \quad (3.22)$$

Vzhledem k antisymetrii  $\varepsilon''(-\omega') = -\varepsilon''(\omega')$  můžeme první vztah přepsat na

$$\varepsilon'(\omega) - 1 = \frac{2}{\pi} P \int_{-\infty}^{\infty} \frac{x \varepsilon''(x)}{x^2 - \omega^2} dx \quad (3.23)$$

a máme přitom na paměti, že

$$x \geq 0 \Rightarrow \varepsilon''(x) \geq 0 \quad , \quad x \leq 0 \Rightarrow \varepsilon''(x) \leq 0 \quad . \quad (3.24)$$

Z těchto relací odvodíme výrazy

$$\frac{d \varepsilon'(\omega')}{d \omega'} = \frac{4 \omega'}{\pi} P \int_{-\infty}^{\infty} \frac{x \varepsilon''(x)}{(x^2 - \omega'^2)^2} dx \quad , \quad \frac{d [\omega'^2 (\varepsilon'(\omega') - 1)]}{d \omega'} = \frac{4 \omega'}{\pi} P \int_{-\infty}^{\infty} \frac{x^3 \varepsilon''(x)}{(x^2 - \omega'^2)^2} dx \quad . \quad (3.25)$$

Z výrazů (3.25) dostáváme nerovnosti

$$\frac{d \varepsilon'(\omega')}{d \omega'} \geq 0 \quad , \quad \frac{d \varepsilon'(\omega')}{d \omega'} \geq \frac{2(1 - \varepsilon'(\omega'))}{\omega'} \quad . \quad (3.26)$$

Zcela obdobně bychom získali pro permeabilitu nerovnosti

$$\frac{d \mu'(\omega')}{d \omega'} \geq 0 \quad , \quad \frac{d \mu'(\omega')}{d \omega'} \geq \frac{2(1 - \mu'(\omega'))}{\omega'} \quad . \quad (3.27)$$

## 4 Chování vlny na rovinném rozhraní

### 4.1 Fázová a grupová rychlost

Uvažujme šíření vlny ve směru osy  $z$ . Prostředí má velmi slabou dispersi, tedy kvadrát indexu lomu bude součinem reálných částí permitivity a permeability (čárky vynecháváme) a vlnu napíšeme jako

$$A = \int_{-\infty}^{\infty} a(\omega) \exp \left[ i \left( \frac{\omega n(\omega)}{c} z - \omega t \right) \right] d \omega \quad . \quad (4.1)$$

Je zřejmé, že fázová rychlost je

$$v_f = \frac{c}{n(\omega)} \quad (4.2)$$

a může nabývat i nadsvětelných rychlostí. Nikoliv tak grupová rychlost

$$v_g = \frac{c}{\frac{d[\omega n(\omega)]}{d\omega}} \quad (4.3)$$

pokud jsou ovšem splněny podmínky (3.26) a (3.27).

## 4.2 Sommerfeldovo – Brilluinovo řešení

Na rovinné rozhraní dopadá v čase  $t=0$  kolmo elektromagnetická vlna. Poloprostor  $x>0$  vyplňuje opticky průzračné prostředí, charakterizované indexem lomu  $n(\omega)=\sqrt{\varepsilon(\omega)}$  (předpokládáme  $\mu(\omega)=1$ ).

Máme tedy na rozhraní

$$\begin{aligned} E(x=0, t) &= 0 & t < 0 \\ E(x=0, t) &= E_0 \exp\{-i\omega_0 t\} & t > 0 \end{aligned} \quad (4.4)$$

neboli ve Fourierových složkách

$$E(x=0, \omega) = E_0 \int_0^{\infty} d\tau \exp\{i(\omega - \omega_0)\tau\} \quad (4.5)$$

Vlna šířící se v poloprostoru  $x>0$  má obecně tvar

$$f(\omega) \exp\{i(k(\omega)x - \omega t)\} \quad , \quad k(\omega) = \frac{\omega}{c} n(\omega) \quad (4.6)$$

a v našem případě tedy

$$E(x, t) = \frac{E_0}{2\pi} \int_{-\infty}^{\infty} d\omega t(\omega) \exp\{i(k(\omega)x - \omega t)\} \int_0^{\infty} d\tau \exp\{i(\omega - \omega_0)\tau\} \quad , \quad (4.7)$$

kde  $t(\omega)$  je pomalu se měnící amplituda propustnosti při dopadu na rozhraní. Nejprve ukážeme výpočet podle Landaua. Hlavní příspěvek k integrálu bude pocházet od frekvencí  $\omega \approx \omega_0$ . Rozvojem funkcí a ponecháním nejnižších členů Taylorova rozvoje dostaneme

$$E(x, t) = \frac{E_0 t(\omega_0)}{2\pi} \exp\{i(k(\omega_0)x - \omega_0 t)\} \int_0^{\infty} d\tau \int_{-\infty}^{\infty} d\xi \exp\left\{i\left[\frac{\xi}{u}(x - ut + u\tau) - \frac{xu'}{2} \frac{\xi^2}{u^2}\right]\right\} \quad , \quad (4.8)$$

kde jsme zavedli grupovou rychlost  $u$  a její derivaci  $u'$  vztahy

$$\frac{1}{u} = \left. \frac{dk}{d\omega} \right|_{\omega=\omega_0} \quad , \quad u' = \left. \frac{du}{d\omega} \right|_{\omega=\omega_0} \quad (4.9)$$

Po jednoduchých úpravách dostaneme z (4.9)

$$E(x, t) = E_0 t(\omega_0) \exp\{i(k(\omega_0)x - \omega_0 t)\} \frac{\exp\left\{\mp i \frac{\pi}{4}\right\}}{\sqrt{\pi}} \int_w^\infty d\xi \exp\{\pm i \xi^2\} , \quad (4.10)$$

kde znaménko je signaturou  $u'$  a proměnná  $w$  je dána vztahem

$$w = \frac{x - ut}{\sqrt{2x|u'|}} . \quad (4.11)$$

Pro  $ut - x \rightarrow \infty$  přejde (4.10) na stacionární tvar

$$E(x, t) = E_0 t(\omega_0) \exp\{i(k(\omega_0)x - \omega_0 t)\} . \quad (4.12)$$

Pro  $ct - x \rightarrow 0^+$  hrají hlavní roli velké frekvence, kdy můžeme psát

$$k(\omega) - \frac{\omega}{c} \approx -\frac{\omega_p^2}{2\omega} \quad (4.13)$$

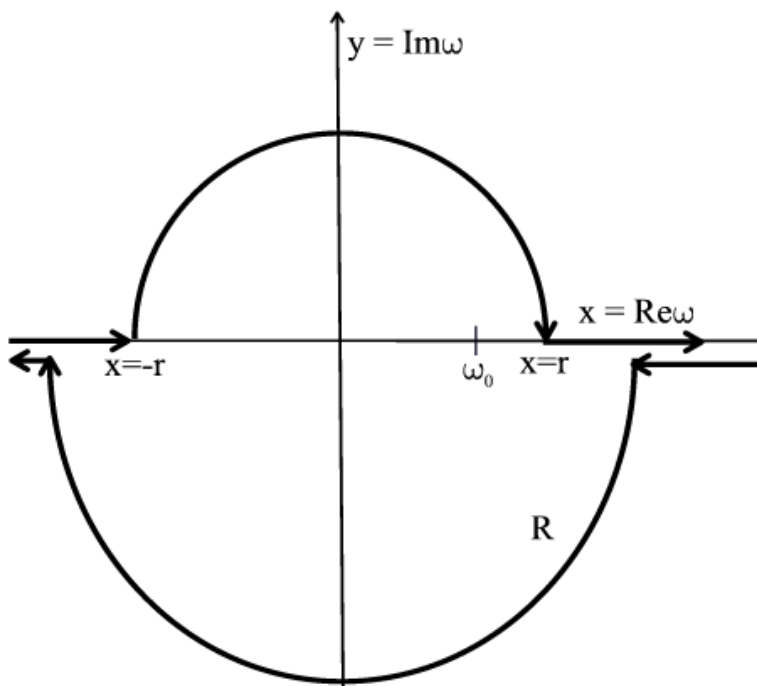
a tedy místo (4.7)

$$E(x, t) \approx \frac{iE_0}{2\pi} \int_{-\infty}^{\infty} \frac{d\omega}{\omega} \exp\left\{-i\left[\frac{\omega_p^2 x}{2c\omega} + \left(t - \frac{x}{c}\right)\omega\right]\right\} - E_0 \exp\left\{-i\left(t - \frac{x}{c}\right)\omega_0\right\} , \quad (4.14)$$

kde integrační cesta (na obrázku) je zvolena podle Sommerfelda tak, aby obsahovala pouze velké absolutní hodnoty (komplexní) integrační proměnné. Druhý člen na pravé straně (4.14) je příspěvek residua v  $\omega = \omega_0$ , předpokládáme dále  $t(\omega_0) \approx 1$ . S označením  $\xi = (\omega_p^2 x)/(2c)$  a  $\tau = t - x/c$  přepíšeme

(4.14) na

$$E(x, t) \approx \frac{iE_0}{2\pi} \int_{-\infty}^{\infty} \frac{d\omega}{\omega} \exp\left\{-i\left[\frac{\xi}{\omega} + \tau\omega\right]\right\} - E_0 \exp\left\{-i\left(t - \frac{x}{c}\right)\omega_0\right\} . \quad (4.15)$$



Zvolíme-li  $r = \sqrt{\xi/\tau}$ , můžeme pomocí různých integrálních reprezentací Besselovy funkce zapsat (4.15) jako

$$E(x, t) = E_0 J_0(2\sqrt{\xi\tau}) = E_0 \left[ J_0\left(\frac{\omega_p}{c} \sqrt{2x(ct-x)}\right) - \exp\left\{-i\left(t - \frac{x}{c}\right)\omega_0\right\} \right]. \quad (4.16)$$

Čelo vlny se tedy šíří rychlostí rovnou rychlosti světla ve vakuu, amplituda narůstá z nulové hodnoty. Pro  $x - ct > 0$  dostáváme přirozeně z (4.7) vztah  $E(x, t) = 0$ .

## 5 Matematické základy

### 5.1 Analytické funkce

Komplexní funkci  $f: \mathbb{C} \rightarrow \mathbb{C}$  můžeme pro  $z = x + iy$  zapsat jako

$$f(z) = u(x, y) + iv(x, y). \quad (5.1)$$

Derivace funkce je

$$\left. \frac{df}{dz} \right|_{z=z_0} = \lim_{\Delta z \rightarrow 0} \frac{f(z_0 + \Delta z) - f(z_0)}{\Delta z}, \quad (5.2)$$

pokud tato limita existuje a je nezávislá na směru v komplexní rovině, kterým se  $\Delta z$  blíží k nule.

Požadavek nezávislosti na směru vyjadřují Cauchyho – Riemannovy podmínky

$$\frac{\partial u}{\partial x} = \frac{\partial v}{\partial y} \quad , \quad \frac{\partial u}{\partial y} = -\frac{\partial v}{\partial x} \quad . \quad (5.3)$$

Vztah (5.3) můžeme zapsat také jako

$$\frac{\partial f(z, z^*)}{\partial z^*} = 0 \quad . \quad (5.4)$$

Pro úplnost uvedme, že derivováním prvního ze vztahů v (5.3) podle  $x$  a dosazením z druhého vztahu (resp. derivováním druhého ze vztahů v (5.3) podle  $y$  a dosazením z prvního vztahu) dostaneme

$$\frac{\partial^2 u}{\partial x^2} + \frac{\partial^2 u}{\partial y^2} = 0 \quad , \quad \frac{\partial^2 v}{\partial x^2} + \frac{\partial^2 v}{\partial y^2} = 0 \quad . \quad (5.5)$$

Funkce  $f: \mathbb{C} \rightarrow \mathbb{C}$  je analytická v bodě  $z = z_0$ , je-li v tomto bodě a jeho okolí diferencovatelná. Pro integraci analytické funkce platí Cauchyho – Goursatova a Cauchyho věta: Nechť  $f: \mathbb{C} \rightarrow \mathbb{C}$  je analytická na uzavřené křivce  $C$  a ve všech bodech uvnitř  $C$ . Bod  $z_0$  ať je libovolný vnitřní bod. Potom

$$\oint_C f(z) dz = 0 \quad (5.6)$$

a

$$f(z_0) = \frac{1}{2\pi i} \oint_C \frac{f(z)}{z - z_0} dz \quad . \quad (5.7)$$

Orientace uzavřené křivky  $C$  se volí tak, že pravý úhel od vnější normály k tečně je orientován proti směru hodinových ručiček. Obě věty můžeme spojit do výrazu

$$\oint_C f(z) dz = 2\pi i \operatorname{Res}\{f(z_0)\} \quad , \quad (5.8)$$

kde  $\operatorname{Res}\{f(z_0)\}$  označuje residuum funkce  $f(z)$  v izolovaném singulárním bodě  $z = z_0$ . Obecně, obsahuje-li oblast uzavřená křivkou  $C$  více izolovaných singulárních bodů, platí residuová věta

$$\oint_C f(z) dz = 2\pi i \sum_k \operatorname{Res}\{f(z_k)\} \quad . \quad (5.9)$$

Je-li bod  $z = z_0$  pólem  $m$ -tého řádu, tj. funkce je representována Laurentovou řadou

$$f(z) = \sum_{n=0}^{\infty} a_n (z - z_0)^n + \sum_{n=1}^m \frac{b_n}{(z - z_0)^n} \quad (5.10)$$

a funkce  $(z - z_0)^m f(z)$  je tedy analytická, můžeme residuum vyjádřit jako

$$\operatorname{Res}\{f(z_0)\} = \frac{1}{(m-1)!} \lim_{z \rightarrow z_0} \left\{ \frac{d^{m-1}}{dz^{m-1}} \left[ (z - z_0)^m f(z) \right] \right\} \quad . \quad (5.11)$$

## 5.2 Hlavní hodnota integrálu

Předpokládejme teď, že částí uzavřené křivky v Cauchyho větě (5.7) je reálná osa a že na této reálné ose leží singulární bod  $z=x_0$  a že tedy integrál  $\int_{-\infty}^{\infty} f(x)/(x-x_0) dx$  diverguje. Předpokládejme ale, že existuje hlavní hodnota tohoto integrálu

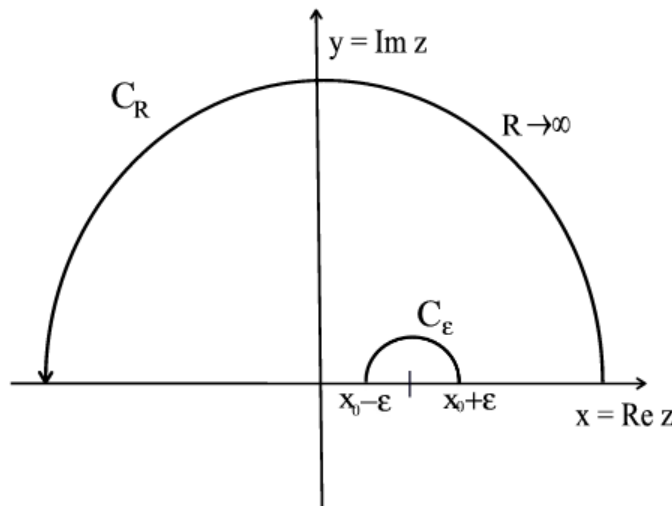
$$P \int_{-\infty}^{\infty} \frac{f(x)}{x-x_0} dx = \lim_{\varepsilon \rightarrow 0} \left\{ \int_{-\infty}^{x_0-\varepsilon} \frac{f(x)}{x-x_0} dx + \int_{x_0+\varepsilon}^{\infty} \frac{f(x)}{x-x_0} dx \right\}. \quad (5.12)$$

Je-li funkce  $f(z)$  analytická (až na  $m$  izolovaných singulárních bodů) v horní polorovině a ubývá dostatečně rychle pro  $|z| \rightarrow \infty$ , můžeme zvolit křivku  $C$  podle obrázku 2-1 a dostaneme

$$\oint_C \frac{f(z)}{z-x_0} dz = P \int_{-\infty}^{\infty} \frac{f(x)}{x-x_0} dx + \int_{C_\varepsilon} \frac{f(z)}{z-x_0} dz + \int_{C_R} \frac{f(z)}{z-x_0} dz = P \int_{-\infty}^{\infty} \frac{f(x)}{x-x_0} dx - i\pi f(x_0) \quad (5.13)$$

a podle residuové věty

$$P \int_{-\infty}^{\infty} \frac{f(x)}{x-x_0} dx = i\pi f(x_0) + 2i\pi \sum_{j=1}^m \operatorname{Res} \left\{ \frac{f(z_j)}{z_j-x_0} \right\}. \quad (5.14)$$



Obrázek 5-1

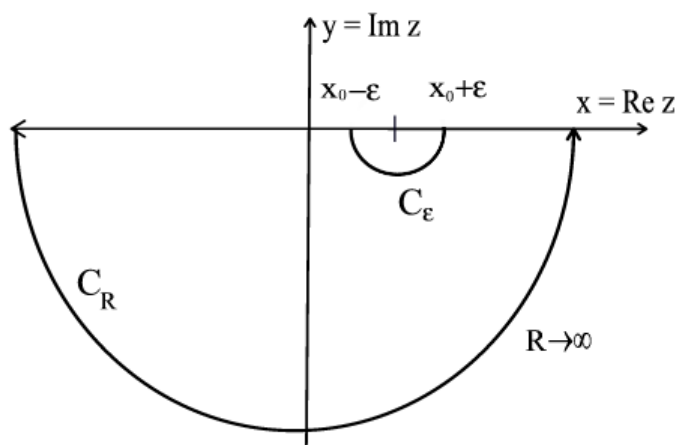
Obdobně, je-li funkce  $f(z)$  analytická (až na  $n$  izolovaných singulárních bodů) ve spodní polorovině a ubývá dostatečně rychle pro  $|z| \rightarrow \infty$ , můžeme zvolit křivku  $C$  podle obrázku 2-2 a dostaneme



$$\oint_C \frac{f(z)}{z-x_0} dz = -P \int_{-\infty}^{\infty} \frac{f(x)}{x-x_0} dx + \int_{C_\varepsilon} \frac{f(z)}{z-x_0} dz + \int_{C_R} \frac{f(z)}{z-x_0} dz = -P \int_{-\infty}^{\infty} \frac{f(x)}{x-x_0} dx - i\pi f(x_0) \quad (5.15)$$

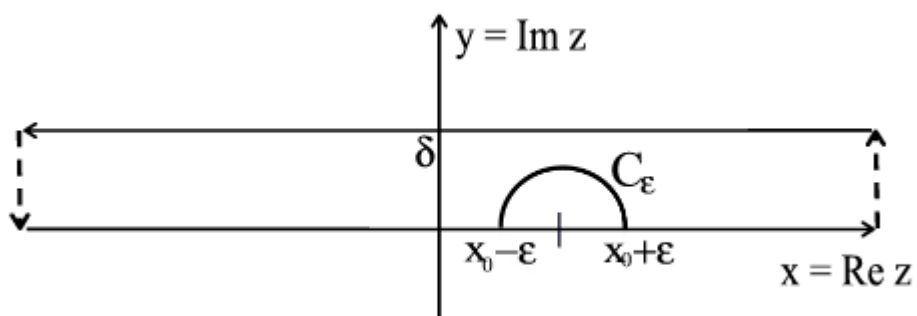
a podle residuové věty

$$P \int_{-\infty}^{\infty} \frac{f(x)}{x-x_0} dx = -i\pi f(x_0) - 2i\pi \sum_{j=1}^n \operatorname{Res} \left\{ \frac{f(z_j)}{z_j-x_0} \right\} . \quad (5.16)$$



Obrázek 5-2

Jiný způsob volby integrační křivky podle obrázku 2-3



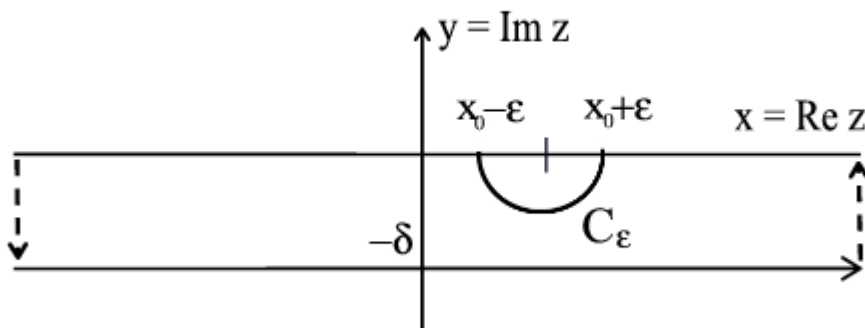
Obrázek 5-3

vede k vyjádření

$$P \int_{-\infty}^{\infty} \frac{f(x)}{x-x_0} dx = i\pi f(x_0) + \lim_{\delta \rightarrow 0^+} \int_{-\infty}^{\infty} \frac{f(x)}{x-x_0+i\delta} dx . \quad (5.17)$$

Druhá možnost volby takové křivky vede podle obrázku 2-4 k výrazu

$$\text{P} \int_{-\infty}^{\infty} \frac{f(x)}{x-x_0} dx = -i\pi f(x_0) + \lim_{\delta \rightarrow 0^+} \int_{-\infty}^{\infty} \frac{f(x)}{x-x_0-i\delta} dx \quad . \quad (5.18)$$



Obrázek 5-4

Formální zápis (5.17) a (5.18) je

$$\lim_{\delta \rightarrow 0^+} \frac{1}{x-x_0 \pm i\delta} = \text{P} \frac{1}{x-x_0} \mp i\pi \delta(x-x_0) \quad . \quad (5.19)$$